

# 波が遡上する流れの水粒子運動に関する実験的研究

佐 藤 道 郎\*

## 1. まえがき

流れと波の共存場で水粒子はどのような軌道運動をするのか、流れの速度分布が波の存在によってどうなるのか、また、乱れの性質は波の存在によってどのように影響を受けるだろうか、といった問題は波と流れの共存場における水理現象を理解する上で基礎となるものと思われる。

本報告は、これまで行ってきた流れを遡る波の波高変化に関する研究の過程で試みた若干の実験結果をもとに上述の点について触れたものである。

波のように周期的な変動を伴う流れにおける乱れに関しては近年波動境界層の乱れについて堀川・渡辺<sup>1)</sup>の電解式乱流計による計測や日野・大西<sup>2)</sup>の熱線流速計による計測などが行われ、興味深い結果が得られてきている。

一方、流れと波が共存する場合には波動境界層の問題に加えて、静水を波が伝播する場合と異なり、すでに乱れている媒質を波が伝播することになるため、その乱れと波の相互作用が問題となる。このような乱れと波の相互作用に関して、Skoda<sup>3)</sup>は水路底に沿って設置されたpaddle type の攪拌装置によって乱された媒質を伝播する波のエネルギーの逸散量の測定を行い、乱れのスケールや強さと波エネルギー逸散との関係を論じた。定常流乱流に波のような周期運動が加わった場合に乱れにもその周期運動の影響が反映されるものと考えられ、ひいては平均流れもなんらかの変化をもたらすことが考えられる。そこで、これらの点を調べるために実験を試みた。流速測定には定常流乱流の乱れ成分を測定するのに有力な手段であるX型プローブの熱膜流速計を使用してみたが、本実験のように周期的変動を伴う流れの乱れ測定には後述するようにあまり有効といえないようである。測定は計器の特性上、限られた条件下のもとでのものであり、また、データ処理上の困難さから一つのケースについてのものであるため、種々の波および流れの条件下での系統的な議論はされず大まかに概観するにとどまった。

## 2. 流れと波による水粒子の運動

時刻  $t=0$  で  $(x_0, y_0)$  の位置にあった水粒子の  $t=t$

における位置  $(x, y)$  は Lagrange 速度  $(u_l, v_l)$  を用い次のように表わされる。

$$x = x_0 + \int_0^t u_l(x_0, y_0, t') dt' \quad \dots \dots \dots (1)$$

$$y = y_0 + \int_0^t v_l(x_0, y_0, t') dt' \quad \dots \dots \dots (2)$$

流れの Euler 速度を  $U(y)$ 、波の Euler 速度成分を  $(u_1(x, y, t), v_1(x, y, t))$  とすれば、Lagrange 流速  $(u_l, v_l)$  は Euler 速度から次のように得られる。

$$\begin{aligned} u_l(x_0, y_0, t) &= U\left(y_0 + \int_0^t v_l(x_0, y_0, t') dt'\right) \\ &\quad + u_1\left(x_0 + \int_0^t u_l(x_0, y_0, t') dt', t\right) \\ &\quad + v_0 + \int_0^t v_l(x_0, y_0, t') dt', t \Big) \\ &\equiv U(y_0) + \left( \int_0^t v_1(x_0 + U(y_0)t', y_0, t') dt' \right) \\ &\quad \times \frac{dU}{dy} \Big|_{y=y_0} + u_1(x_0 + U(y_0)t, y_0, t) \\ &\quad \dots \dots \dots (3) \end{aligned}$$

$$\begin{aligned} v_l(x_0, y_0, t) &= v_1\left(x_0 + \int_0^t u_l(x_0, y_0, t') dt', t\right) \\ &\quad + v_0 + \int_0^t v_l(x_0, y_0, t') dt', t \Big) \\ &\equiv v_1(x_0 + U(y_0) \cdot t, y_0, t) \quad \dots \dots \dots (4) \end{aligned}$$

$u_1, v_1$  を次のように表わす。 $c$  を波速、 $k$  を波数として

$$u_1 = \hat{u}_1(y) \cos k(x - ct) \quad \dots \dots \dots (5)$$

$$v_1 = \hat{v}_1(y) \sin k(x - ct) \quad \dots \dots \dots (6)$$

式(5), (6)を式(3), (4)に代入して  $(u_l, v_l)$  は次のように表わされる。

$$\begin{aligned} u_l &\equiv U(y_0) + \frac{\hat{v}_1(y_0)}{k(c - U(y_0))} \cdot \frac{dU}{dy} \Big|_{y=y_0} \\ &\quad \times [\cos k\{x_0 - (c - U(y_0))t\} - \cos kx_0] \\ &\quad + \hat{u}_1(y_0) \cos k\{x_0 - (c - U(y_0))t\} \quad \dots \dots \dots (7) \end{aligned}$$

$$v_l \equiv \hat{v}_1(y_0) \sin k\{x_0 - (c - U(y_0))t\} \quad \dots \dots \dots (8)$$

よって、 $(x, y)$  は次のように表わされる。

$$\begin{aligned} x &= x_0 + \left\{ U(y_0) - \frac{\hat{v}_1(y_0)}{k(c - U(y_0))} \cdot \frac{dU}{dy} \Big|_{y=y_0} \right. \\ &\quad \left. \times \cos kx_0 \right\} t - \frac{1}{k(c - U(y_0))} \end{aligned}$$

\* 正会員 工博 東北大学助手 工学部土木工学科

$$\times \left\{ \hat{u}_1(y_0) + \frac{\hat{v}_1(y_0)}{k(c-U(y_0))} \cdot \frac{dU}{dy} \Big|_{y=y_0} \right\} \\ \times [\sin k \{x_0 - (c-U(y_0))t\} - \sin kx_0] \dots (9)$$

$$y = y_0 - \frac{\hat{v}_1(y_0)}{k(c-U(y_0))} \cos kx_0 + \frac{\hat{v}_1(y_0)}{k(c-U(y_0))} \\ \times \cos k \{x_0 - (c-U(y_0))t\} \dots (10)$$

いま、 $x_0=0$  とすれば、式(9)、(10)は次のような形に表わすことができる。

$$x = K \cdot \theta - a_x \sin \theta \dots (11)$$

$$y = \bar{y} + a_y \cos \theta \dots (12)$$

ただし、 $K$ 、 $\theta$ 、 $\bar{y}$ 、 $a_x$ 、 $a_y$  はそれぞれ次のとおりである。

$$K = - \frac{\left\{ U - \frac{\hat{v}_1}{k(c-U)} \cdot \frac{dU}{dy} \right\}_{y=y_0}}{k(c-U(y_0))} \dots (13)$$

$$\theta = -k(c-U(y_0)) \cdot t \dots (14)$$

$$\bar{y} = y_0 - \frac{\hat{v}_1(y_0)}{k(c-U(y_0))} \dots (15)$$

$$a_x = \frac{1}{k(c-U(y_0))} \left\{ \hat{u}_1 + \frac{\hat{v}_1}{k(c-U)} \frac{dU}{dy} \right\}_{y=y_0} \dots (16)$$

$$a_y = \frac{\hat{v}_1(y_0)}{k(c-U(y_0))} \dots (17)$$

式(11)、(12)は橙円トロコイド曲線を表わす式である。すなわち、 $y=\bar{y}+K$  なる直線の下側において、この直

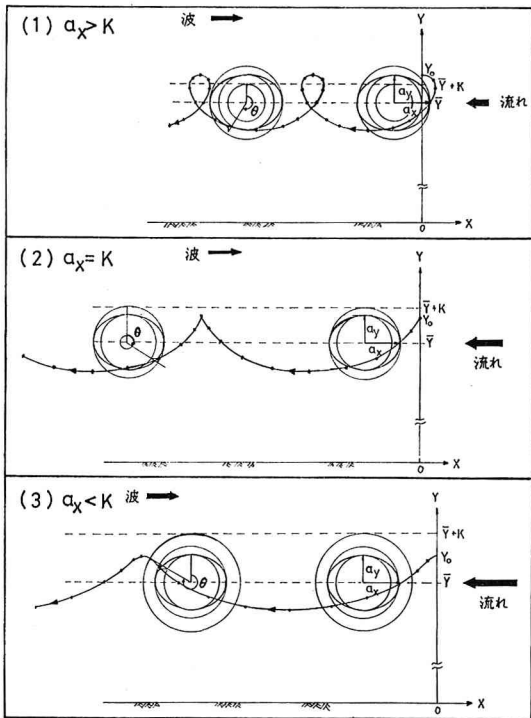


図-1 水粒子の軌跡

線に接して半径  $K$  なる円が転がるとき、この円の注目する一つの半径と半径  $a_x$  および半径  $a_y$  の二つの同心円とが定める橙円上の点の軌跡を表わすものである。

向かい流れを波が遡る場合には、 $U < 0$  とすると  $K > 0$ ,  $\theta < 0$  の場合であるから、(1)  $a_x > K$ , (2)  $a_x = K$ , (3)  $a_x < K$  について式(11), (12)に基づいて図示すれば図-1 のようになる。図-1(1)は  $\hat{u}_1 > -U$  の場合で、このとき軌跡は外点の描く橙円トロコイドとなる。図-1(2)は  $\hat{u}_1 = -U$  のときでサイクロイドを描く。図-1(3)は  $\hat{u}_1 < -U$  のときで内点の描く橙円トロコイドとなる。

これらの結果を実験的に調べてみた。実験には長さ 8 m, 幅 0.5 m, 高さ 0.8 m の水路を用いた。水粒子の軌跡は、キシレンとモノクロベンゼンを混ぜてマジックインキで着色し、比重が水と同じになるように調節したものをトレーサーとして 35 mm カメラでシャッターを 1 秒間開放して撮影した。実験波の周期は 0.8 秒、水深は 10.4 cm であった。

結果の例を写真-1, 2, 3 に示す。写真から図-1 に

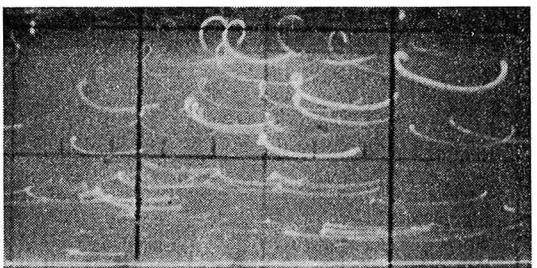


写真-1 水粒子の軌跡 ( $U/c_0 = -0.06$ )

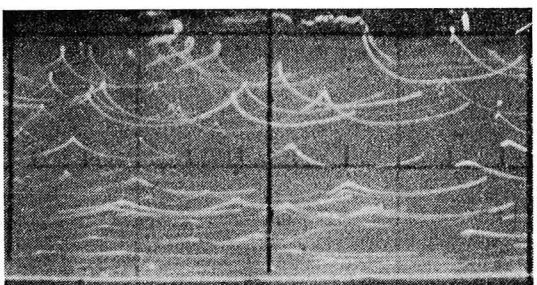


写真-2 水粒子の軌跡 ( $U/c_0 = -0.10$ )

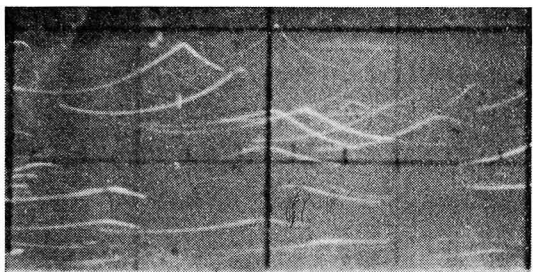


写真-3 水粒子の軌跡 ( $U/c_0 = -0.19$ )

示したような軌跡を描いていくことがわかる。

## 2. 流れと波の共存場の乱れの計測

### (1) 実験装置および実験方法

実験は長さ 20 m, 幅 0.8 m, 高さ 0.5 m の循環流式造波水路で行った。反射の影響を極力除くよう種々検討した結果、勾配 1/5 の斜面に透水性の良いマット（ステラシート）を張って波消しとして用いた。

流速測定には定温度熱膜流速計 (Thermo System Inc. 製 1050 シリーズ) に X 型プローブ (図-2) を用いた。

測定位置は造波機の設置された下流端より 7.5 m のところで、水深は 30 cm とし、水底より 0.5 cm~20 cm の範囲で測定した。初めの目標としては波動境界層内のレイノルズ応力も測定する予定であったが、後述するような事情やその他の事情から果たせなかった。

実験に用いた波は周期 1.33 秒、波高 8.3 cm で、この波が断面における最大流速 33 cm/sec の流れを遡る場合について測定した。

### (2) 測定結果の処理

熱膜流速計から出力される各受感要素に垂直な有効冷却速度から、水平および鉛直速度成分 ( $u, v$ ) は次のようにして得られる。

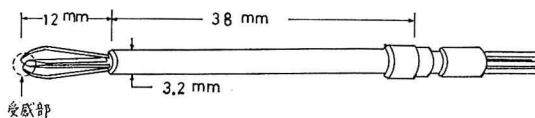


図-2 流速計プローブ

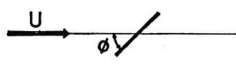


図-3

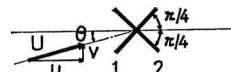


図-4

$U$  なる速度を有する流れの中に流れと  $\phi$  なる傾きをもつて受感要素が置かれている場合 (図-3), 有効冷却速度  $q$  は次のように表わされる。

$$q = U(\sin \phi)^{1/k} \quad (k: \text{定数}) \quad \dots \dots \dots (18)$$

二つの受感要素を互いに直角をなすように組み合わせ平均流れ方向にそれぞれ 45° の傾きをなすように置けば (図-4), 要素 1, 2 について式 (18) より次式を得る。

$$q_1 = U \left\{ \sin \left( \frac{\pi}{4} - \theta \right) \right\}^{1/k} = U \left\{ \cos \left( \frac{\pi}{4} + \theta \right) \right\}^{1/k} \quad \dots \dots \dots (19)$$

$$q_2 = U \left\{ \sin \left( \frac{\pi}{4} + \theta \right) \right\}^{1/k} \quad \dots \dots \dots (20)$$

$q_1, q_2$  は各受感要素からのリニアライザー出力として得られ、それらを用いて  $U, \theta$  は式 (19), (20) より次のよ

うに得られる。

$$U = (q_1^k + q_2^k)^{1/2k} \quad \dots \dots \dots (21)$$

$$\theta = \arctan(q_2/q_1)^k - \pi/4 \quad \dots \dots \dots (22)$$

よって、 $u, v$  は次のように得されることになる。

$$u = U \cos \theta \quad \dots \dots \dots (23)$$

$$v = U \sin \theta \quad \dots \dots \dots (24)$$

ところで、 $q_1, q_2$  には方向性がなく絶対値しか得られないため、式 (22) において  $q_2/q_1$  は常に正で、

$$\pi/2 > \arctan(q_2/q_1)^k > 0$$

となり、 $\theta$  の値は

$$\pi/4 > \theta > -\pi/4$$

となり、式 (23) から得られる  $u$  は常に正となって流れの向きは表わされない。したがって、振動流境界層のように流れの向きが逆転するような場合の乱れ成分の測定には X 型プローブもあまり有効といえないようである。

しかし、流れの速度が波の速度成分よりも大きな場合には測定できる。そこで、本実験ではそのような条件を満たす場合について測定した。

次に式 (23), (24)

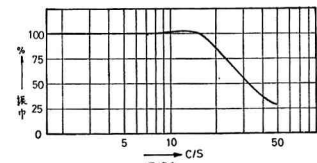


図-5 ガルバノメーターの特性

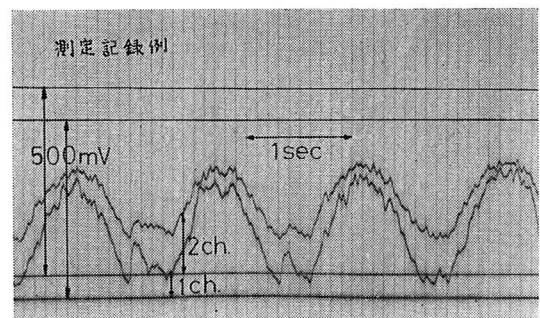


図-6 流速測定記録例

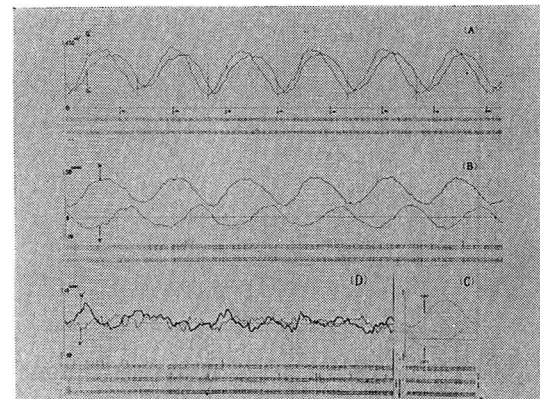


図-7 流速計出力から乱れ成分  $u', v'$  まで

より得られた  $(u, v)$  から乱れ成分  $(u', v')$  を求めるにあたり、乱れの定義は日野・大西によるものにしたがった。すなわち、各瞬間の速度成分を  $u, v$  とし、波の同位相における、 $u, v$  のアンサンブル平均を平均速度として、 $\langle u \rangle, \langle v \rangle$  で表わす。そのときの乱れ成分  $u', v'$  は次のとおりである。

データの読み取りは一波ごとに等分して行う必要があり、磁気テープに収録されているデータを電磁オシログラフに紙送り速度 3 cm/sec で 1/10 秒ごとに刻時線を入れて書き出し、非常な労力を要するが日野・大西になって波一周期ごとに区切り、おのの波を等分して読み取るという方法をとった。用いたガルバノメーターは図-5 に示すような特性を有し、15 c.p.s. を遮断周波数とした低域通過沪波器を通したと同様の効果がある。そこで解析に供する最大周波数を 15 c.p.s. として、読み取り間隔を 1/30 秒とした。実験波は周期 1.33 秒であるから、

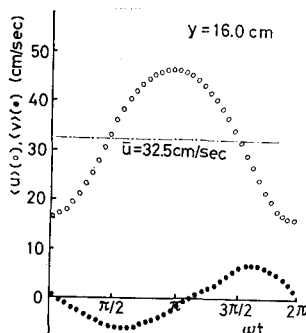


図-8  $\langle u \rangle$ ,  $\langle v \rangle$  の変化の例

この読み取り間隔は  
一周期の  $1/40$  であ  
る。したがって、一  
周期ごとに 40 等分  
し 40 波について一  
測定につき 1 600 個  
の 2 チャンネルで  
3 200 個の資料をカ  
ーブリーダーで読み  
とり紙テープに鑽孔  
して、東北大学大型  
計算機センターの

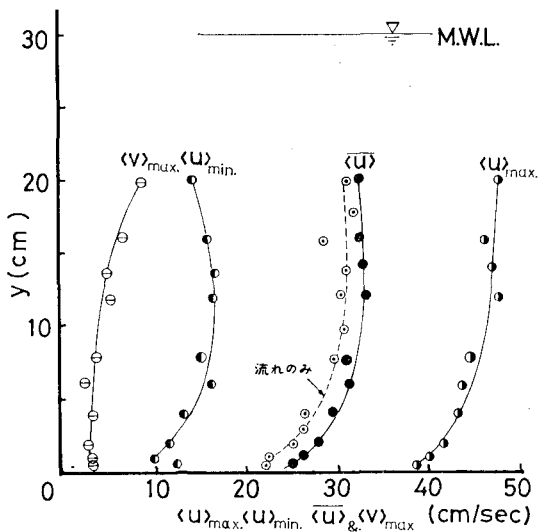


図-9 平均流速の鉛直分布

NEAC 2200-500 および 700 によって計算処理を行った.

### (3) 実験結果

まず、 $\langle u \rangle$ ,  $\langle v \rangle$  が 図-8 に示すように得られ、これをさらに波周期について平均した  $\bar{u} (\equiv \langle u \rangle)$  と波がない流れだけの場合の  $\bar{u}$  の水深方向速度分布形状の比較をしてみた。結果は 図-9 に示すとおりである。同一の流れでの測定ではなかったため流速の大きさに若干差異がある。分布形状については、この結果からは流れに波が重なってもあまり目立った差異は見られない。図中の  $y$  は底からの高さを表わし、流れの流下方向に  $u$  の正がとられている。また、 $\omega t = 0$  は波の速度成分  $u_w$  の最大の位相に対応している。

次に平均乱れ強さ、 $\sqrt{u'^2}$ 、 $\sqrt{v'^2}$  およびレイノルズ応力に関する  $-\bar{u}'\bar{v}'$  の分布を求めてみると 図-10 のようであった。乱れ強さが底から上方に向って小さくなるが 8 cm 程度から上方では減少せずむしろいくぶん大きくなる傾向が見られ、定常乱流の場合とは異なる傾向と思われる。 $-\bar{u}'\bar{v}'$  については  $y$  の増加とともにほぼ直線的に減少している。以上は全測定時間での平均量であるが、波の各位相のアンサンブル平均の意味での乱れ強さ、レイノルズ応力の変化を調べてみると、 $\sqrt{\langle u'^2 \rangle}$ 、 $\sqrt{\langle v'^2 \rangle}$  の変化は 図-11 および 図-12 のようであった。底面付近(図(A))と流心付近(図(B))とについて示したが、 $\sqrt{\langle u'^2 \rangle}$  については波による加速度の大きな、 $\pi/2$ 、 $3\pi/2$  付近の位相で大きくなっているが、 $\sqrt{\langle v'^2 \rangle}$  ではあまり位相による変化はみられない。また図-13 に示す  $-\langle u'\bar{v}' \rangle$  は  $\sqrt{\langle u'^2 \rangle}$  と類似した変化がみられる。レイノルズ応力は Boussinesq による表現を用いれば渦運動粘性係数  $\epsilon$  を用いて次のように表わされる。

$$-\rho \overline{u'v'} = \rho \varepsilon \frac{du}{dy} \quad \dots \dots \dots \quad (27)$$

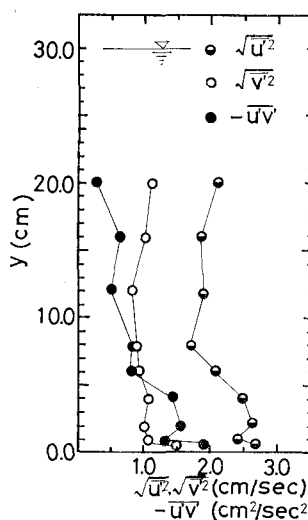


図-10  $\sqrt{u'^2}$ ,  $\sqrt{v'^2}$ ,  $-u'v'$  の分布

この表現を特に波動乱流境界層や本実験にみられるような周期的変動とともになう流れの場合に持ち込むことには議論のあるところであるが、実験から得た  $\langle u'v' \rangle$  と 図-8 に示したような各位相における平均流速から流速分布を最小自乗法により  $y$  の 4 次式で近似させ、次式を

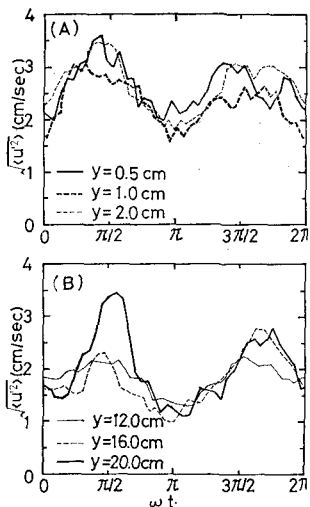


図-11  $\sqrt{\langle u'^2 \rangle}$  の変化

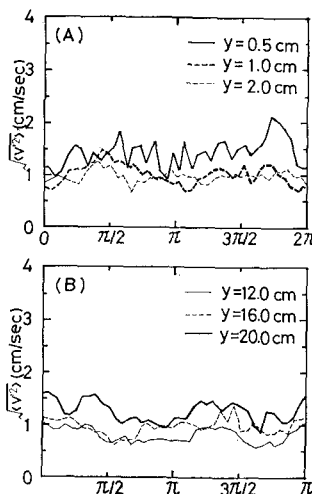


図-12  $\sqrt{\langle v'^2 \rangle}$  の変化

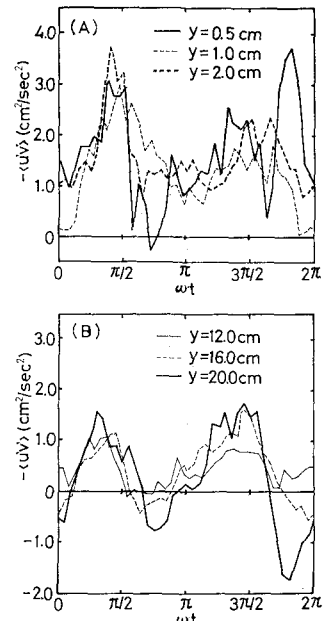


図-13  $-\langle u'v' \rangle$  の変化

用いて $\epsilon$ を求めてみた。

$$\epsilon = \kappa U_* y \left(1 - \frac{y}{\delta}\right) \quad \dots \dots \dots \quad (29)$$

として計算したものを図中の実線で示した。 $\kappa$  はカルマン定数,  $U_{*k}$  は摩擦速度を表わす。これまで著者の行ってきた流れを遡る波の波高減衰に関する研究での扱いは、実際の渦動粘性係数は波の運動によって時間的に変化するが、その平均的な値で変動を無視してモデル化したことによると相当する。

$u'$ ,  $v'$  について自己相関, 相互相関, さらに Tukey

の方法で、 $u'$ ,  $v'$  のパワー・スペクトルを求めてみた結果を 図-15 から 図-22 までに示した。相互相関やパワー・スペクトルから底部付近と流心付近ではいくぶん

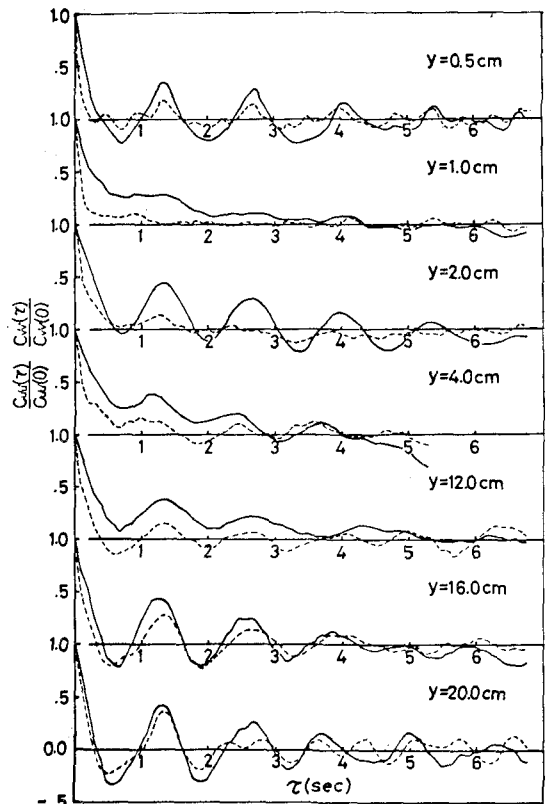
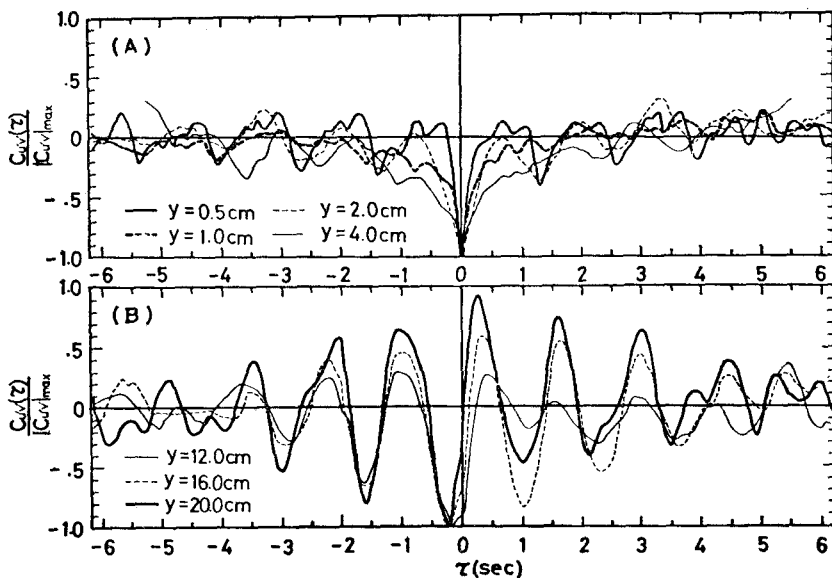
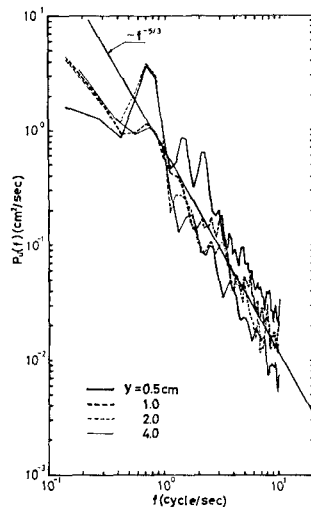
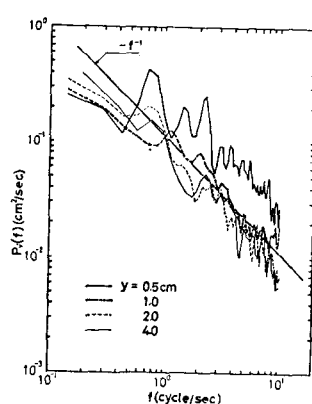
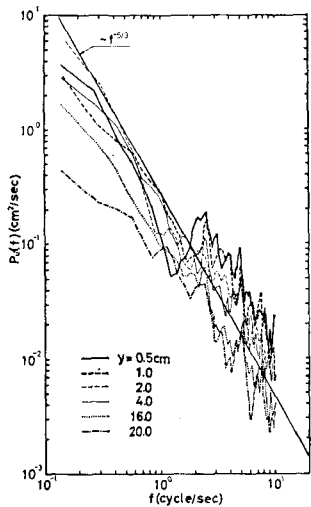
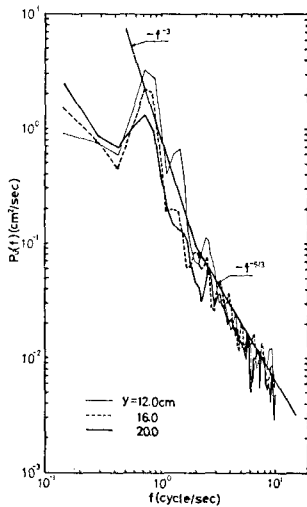
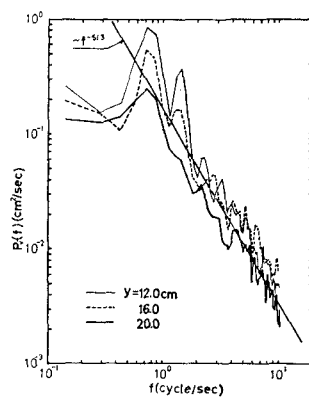
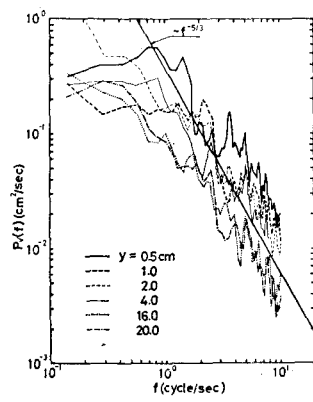


図-15  $u'$  (実線),  $v'$  (破線) の自己相関

図-16  $u', v$  の相互相関図-17  $u'$  のスペクトル (1)図-19  $v'$  のスペクトル (1)図-21  $u'$  (流れのみ) のスペクトル図-18  $u'$  のスペクトル (2)図-20  $v'$  のスペクトル (2)図-22  $v'$  (流れのみ) のスペクトル

異なった様相を呈していることがみられる。また、流れだけの場合とスペクトルを比べてみると、流心付近では波がある場合に 2 c.p.s. 付近から低周波側で  $u'$  は  $-5/3$  乗よりも急な  $-3$  乗に近い勾配を示し、底部付近では  $v'$  が波のある場合に  $-1$  乗に近いゆるやかな勾配を示しているのがみられる。

#### 4. あとがき

流れを波が遡上する場合の水粒子の動きや速度場の性質について実験結果をもとに概観した。とくに乱れに関して、より詳細な点はさらに有効な測定手段の発達とデータの集積のもとに明らかにされていかなければならぬと思われ、さらに詳細な検討は、モデル計算などとも合わせ今後の課題としたい。

本研究を行うにあたって終始ご指導いただいた東北大  
学 岩崎敏夫教授に深く感謝します。また、実験に協力  
を得た、当時学生の津村幸弘、西村洋一、佐々木吉市  
の諸氏に感謝します。

#### 参考文献

- 1) 堀川清司・渡辺 晃: 波運動に伴う乱れと底質の浮遊, 第 17 回海岸工学講演会論文集, 1970.
- 2) 日野幹雄・大西亮一: 浅水表面波の粗底上の乱流構造, 第 18 回海岸工学講演会論文集, 1971.
- 3) Skoda, J.D.: The interaction of waves and turbulence in water, Technical Report HEL. 25-1, Univ. of California Hydraulic Engineering Laboratory, 1972.